

Motivação: porquê estudar máquinas eléctricas?

Máquinas em casa: conseguem identificar ?

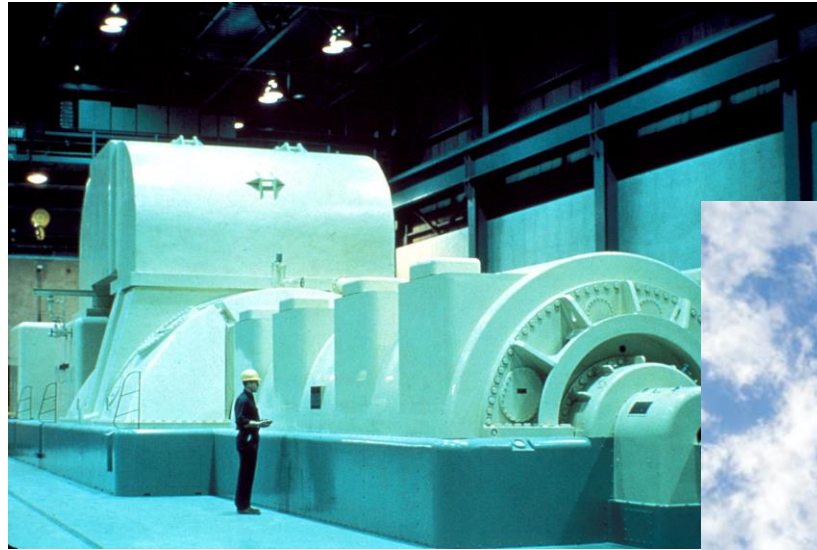
As máquinas eléctricas são muito usadas na geração de energia  
Exemplos

Casos envolvendo geração sem utilização de máquinas elect

As máquinas eléctricas são muito usadas na geração de energia  
Exemplos

Casos envolvendo geração sem utilização de máquinas elect?

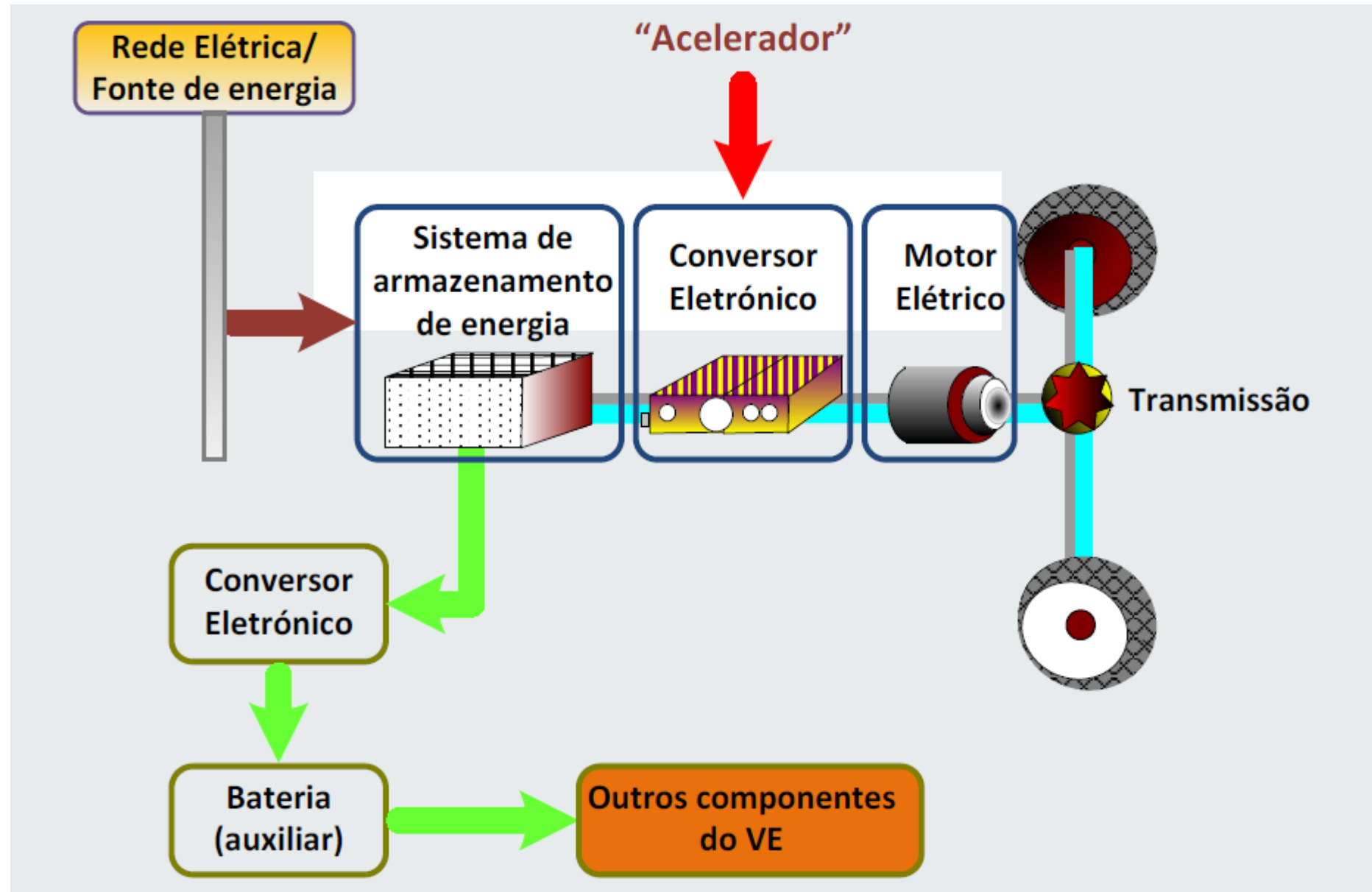
# Generation

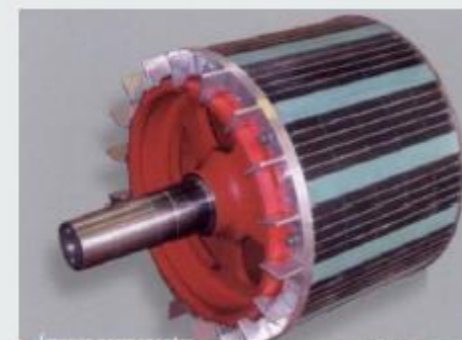
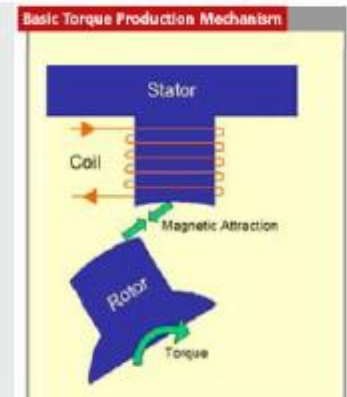
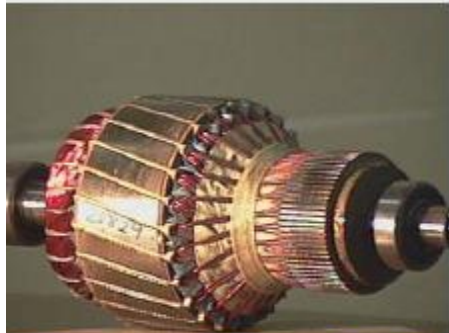
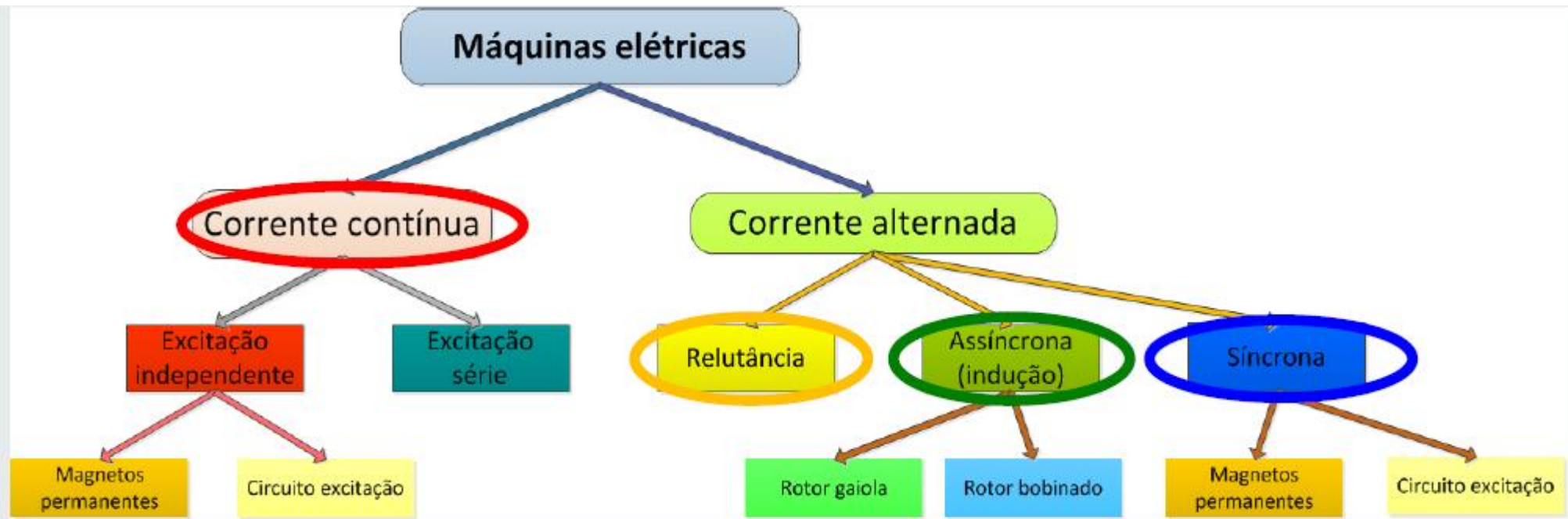


# Transportation



Transportation





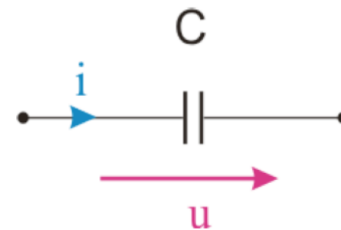
# Análise de circuitos

Componentes elétricos

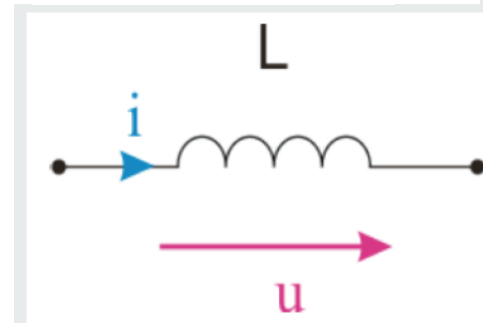
Resistências

Condensadores

Indutores



$$i(t) = C \frac{du}{dt}$$



$$u(t) = L \frac{di}{dt}$$

Teorema de Thevenin

Teorema de Norton

Princípio de sobreposição

Leis de Kirchoff

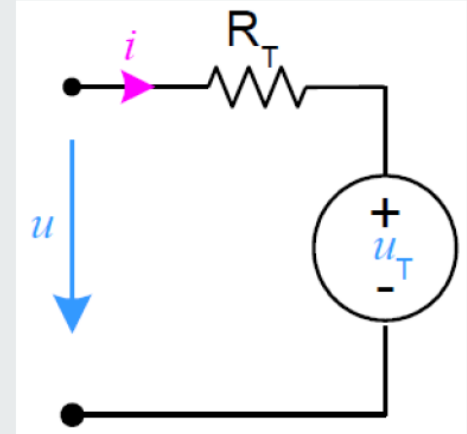


Teorema de Thevenin

Teorema de Norton

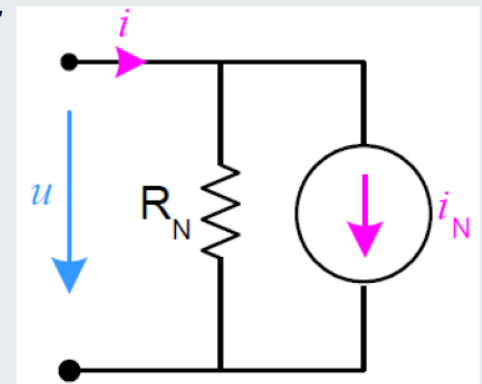
- O dipolo de Thévenin é constituído por uma fonte de tensão  $u_T$  em **série** com uma resistência  $R_T$ :

$$u = R_T i + u_T$$



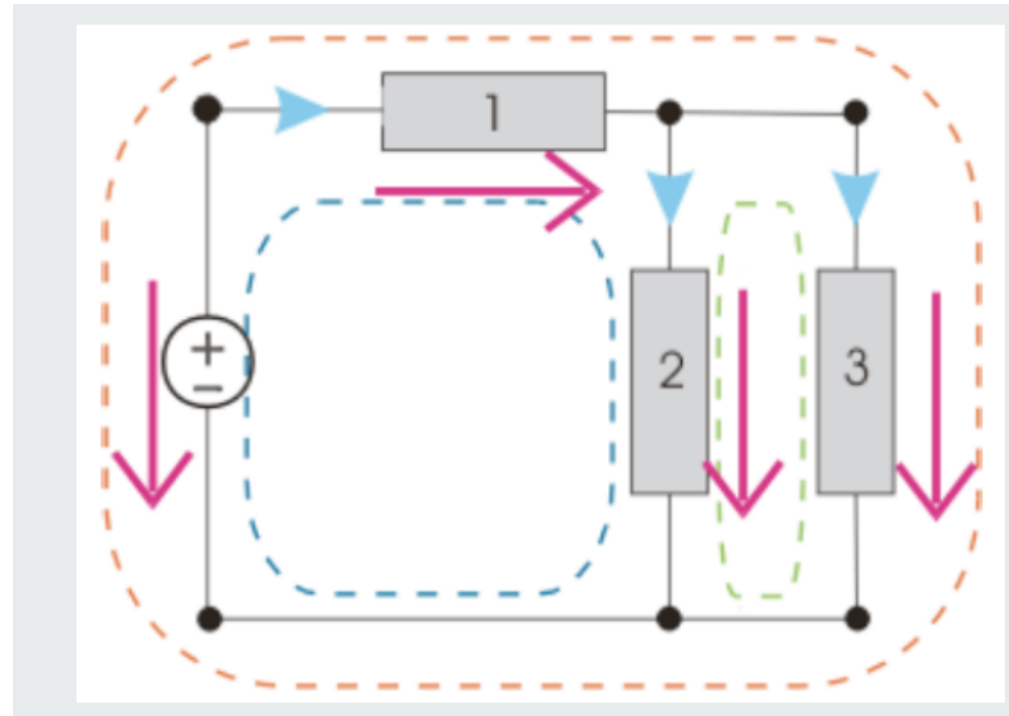
- O dipolo de Norton é constituído por uma fonte de Corrente  $i_T$  em **paralelo** com uma resistência  $R_T$ :

$$i = \frac{u}{R_N} + i_N$$



Princípio de sobreposição

Leis de Kirchhoff



# Modelos mais realistas

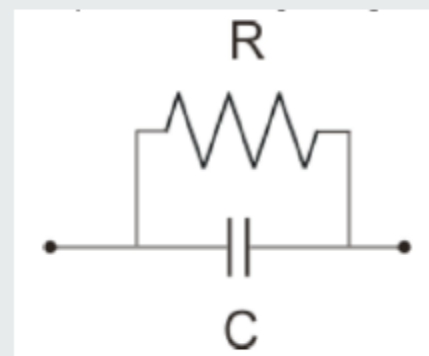
- Resistência real:



- Bobine real:



- Condensador real:



Regimes de funcionamento

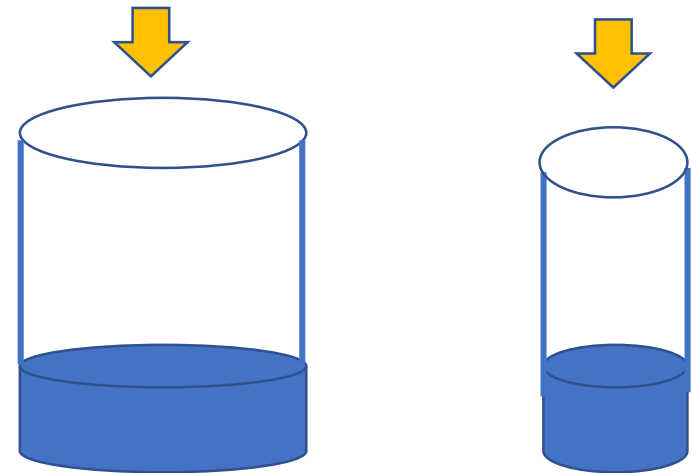
Permanente (DC ou estacionário)

Transitório

A lei de Ohm não envolve o tempo. Portanto em circuitos puramente resistivos não há transien.

Num condensador já não é assim

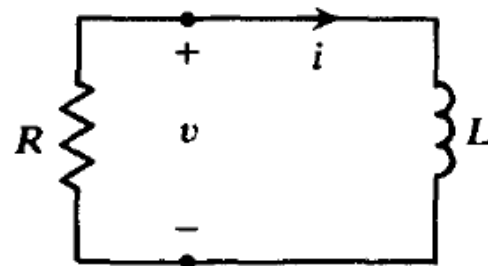
$$v(t) = v(t_0) + \frac{1}{C} \int_{t_0}^t i(u) du$$



$$L \frac{di}{dt} + Ri = 0$$

Integrating,

$$\int_{I_0}^i \frac{di}{i} = - \int_0^t \frac{R}{L} dt \quad \text{or} \quad i = I_0 e^{-Rt/L}$$



**Fig. 4-1**

Now replace the inductance of Fig. 4-1 by a capacitance  $C$ .

$$C \frac{dv}{dt} + \frac{v}{R} = 0$$

The solution to (4.5) is

$$v = V_0 e^{-t/RC}$$

where  $V_0$  is the initial voltage across the capacitance.

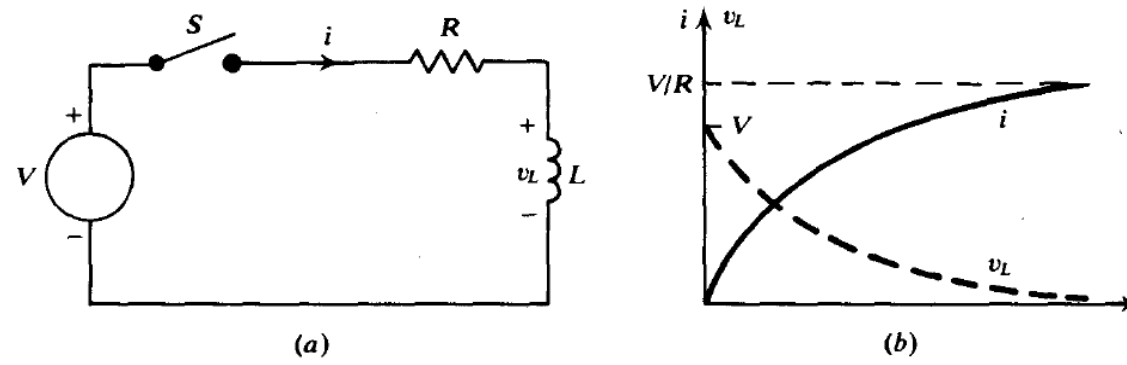


Fig. 4-2

For this case (4.3) is replaced by

$$L \frac{di}{dt} + Ri = V \quad (4.7)$$

which may be solved by separating the variables as

$$\frac{L}{V - Ri} di = dt$$

By integration we obtain

$$-\frac{L}{R} \ln(V - Ri) = t + A \quad (4.8)$$

Using the initial condition to evaluate the constant of integration,

$$A = -\frac{L}{R} \ln V \quad (4.9)$$

Substituting (4.9) in (4.8) and simplifying the resulting expression yields

$$i = \frac{V}{R} (1 - e^{-Rt/L}) \quad (4.10)$$

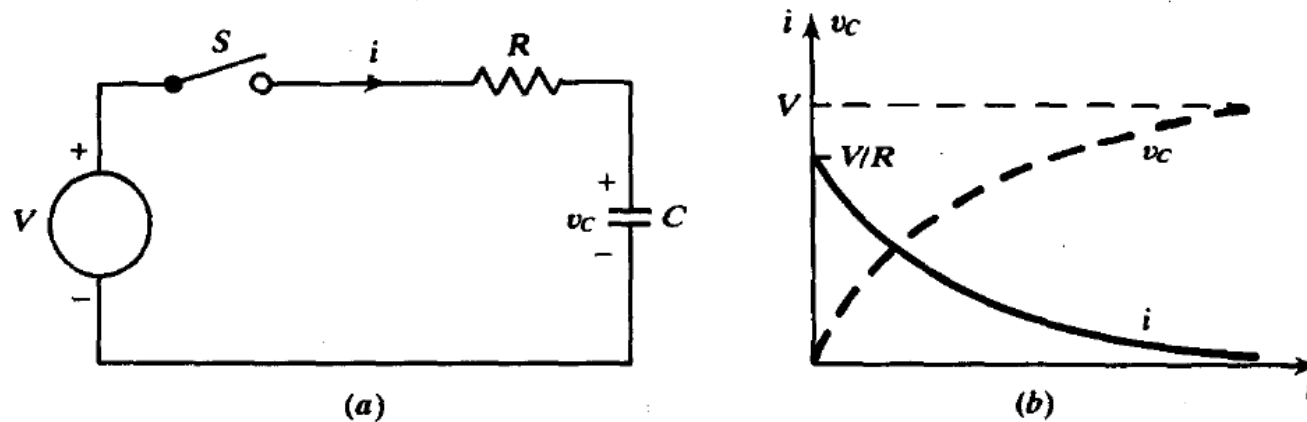
Observe that the complete current response, (4.10), has the predicted form:

$$i = i_n + i_f = -\frac{V}{R} e^{-Rt/L} + \frac{V}{R} \quad (4.11)$$

where  $i_n$  is given by (4.4) together with the initial condition, and where  $i_f$  is a constant solution to (4.7). Current  $i$ , as well as inductor voltage  $v_L$ , is graphed in Fig. 4-2(b).



**Example 4.2** In Fig. 4-3(a), the switch is closed at  $t = 0$ , with no initial charge on  $C$ . Solve for  $i$  and  $v_C$ .



**Fig. 4-3**

For  $t > 0$ , KVL gives

$$Ri + \frac{1}{C} \int_0^t i dt = V$$

which (since  $i = dq/dt$ ) may also be written as

$$R \frac{dq}{dt} + \frac{1}{C} q = V \quad (4.12)$$

Notice that (4.12) and (4.7) are of the same form. The solution becomes, as in (4.11),

$$q = q_n + q_f = Q_0 e^{-t/RC} + CV \quad (4.13)$$

where, from the initial condition,  $Q_0 = -CV$ . Thus

$$q = CV(1 - e^{-t/RC}) \quad (4.14)$$

and from (4.14),

$$i = \frac{dq}{dt} = \frac{V}{R} e^{-t/RC} \quad v_C = \frac{q}{C} = V(1 - e^{-t/RC})$$

The two functions are plotted in Fig. 4-3(b).

